

九州大学 工学部 正員 ○平野京夫

" " " 研 謙三

" " " 学生員 鹿島海人

## まえがき

混合砂礫河床に関する研究としては、掃流砂量に関する Einstein<sup>1)</sup>の研究、限界掃流力に関する土屋<sup>2)</sup>および Egiazaroff<sup>3)</sup>の理論的研究、浮遊砂の濃度分布に関する Hunt<sup>4)</sup>、岩垣ら<sup>5)</sup>、芦田<sup>6)</sup>、吉川<sup>7)</sup>の研究など、基礎的な問題をあつかったものが多い。また、均一砂礫河床の河床変動については従来から多くの研究がなされており、計算例も豊富である。しかし、河川の多くが粒度範囲の広い混合砂礫河床河川であるにもかかわらず、混合砂礫河床の変動現象を対象にしてものは意外に少なく、貯水池下流の armouring に関する Hasan<sup>8)</sup> や河村<sup>9)</sup>の実験的研究などが度がある程度である。この他にも混合砂を用いて河床変動の実験を行った例はあるが、たとえりして結論がえられることが多いものが多い。これに、筆者らが先に指摘したように、掃流力が限界掃流力に比しかなり大きくなる場合には混合砂礫河床の変動と均一砂礫河床との間に顕著な差が認められないとされる。しかし、掃流力が限界掃流に近づくと河床の粒度構成が変化し、貯水池下流や狭さく部における河床砂礫の粒径が他の場所に比し粗いという実際河川における下見受けられる現象を呈すようになるか、河床の粒度が変化すると限界掃流力や流砂量が変化するので、将来の河床砂礫の粒度を予測することは、河川工学上重要な課題の一つである。

本文においては、河床の表層に流砂の発生する“交換層”の存在を想定するにとどり河床と粒度の変動計算式を導いたばかり、実験値と計算値との比較を示すこととする。

## 1. 実験およびその結果

前報<sup>10)</sup>に引き続き河床低下の実験が行なわれている。実験に用いられた水路は幅 60 cm のコンクリート製水路で、下流端に床止めが設置されている。実験 No I および II は一様幅水路、No III は下流端から 5~8 m の区间が幅 40 cm の狭さく部になってしまい、その前後に 1.5 m のすり付部がある。河床砂は A 砂 ( $d_{50} = 0.98 \text{ mm}$ , 標準偏差  $\sigma = 2.31$ ), B 砂 ( $d_{50} = 1.20 \text{ mm}$ ,  $\sigma = 2.66$ ) の 2 種で、その粒度曲線は図-1 のようである。実験中は流量は一定に保たれ、適当な時間間隔で水面形状、河床形状が測定され、河床砂と水路下流端における流砂が採取されていく。実験の要目は表-1 のようである。

実験結果の一例が図-2, 3 に示されている。ここで注目すべきことは、どの実験においても河床低下のはげしい通水初期には粒度はあまり変化せず、河床が低下して  $U_s^2 / S g d_{50} = 0.08 \sim 0.1$

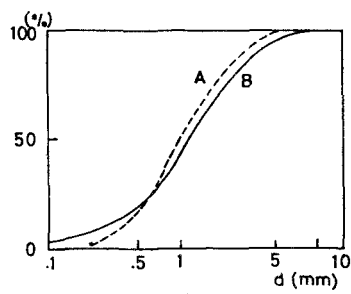


図-1 粒度曲線

表-1 実験の要目

実験番号	河床砂	単位幅流量 (cm³/s)	初期河床勾配 $I_0$	通水時間 (分)
No I	A 砂	127	0.0154	3000
No II	A 砂	243	0.0141	720
No III	B 砂	167	0.0075	3000

にはよどみは平均粒径が増大しはじめることである。これは、掃流力が大きい間は粗い砂も細かい砂も一様に流送されるので分級作用が起りにくくなるが、掃流力が小さくなると粗い砂粒が動きにくくなつて河床に残るためと考えられる。

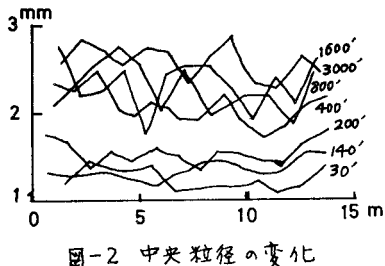


図-2 中央粒径の変化

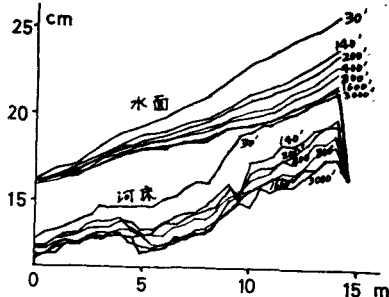


図-3 水面と河床の時間変化

## 2. 河床と粒度の連続の式

実験結果によると、河床が低下するにつれて河床の粒度は次第に粗くなつて、粒度の変化するのは河床表面近くのごく薄い層だけで、それより下の河床砂の粒度は変化していない。従つて、流砂はこのうすい層の上に起因し、この層からとられた砂粒が流砂となって移動した後は左のこの層に帰着するという具合に、この層とその直上の漂流砂層との間で砂粒を交換しながら河床と粒度の変動が進行するとして考えられる。そこで、このうすい層(以下、この層を低さに交換層と呼ぶことにす)中にはありて深さ方向の粒度と空隙率が一定であると仮定して連続の式を導いて次のようになり、河床上昇の場合と低下の場合と若干異なる式が得られる。

### 1) 河床上昇の場合

時刻tにおける河床高をZ、交換層の厚さをa、交換層における空隙率を $\lambda$ 、単位幅流砂量を $B_B$ 、ある粒径範囲の砂の流砂量を $B_{B,i}$ 、その砂が交換層中に占める割合を $p_i$ 、河床幅をBとするれば、図-4のモデルより河床と粒度の連続の式は

$$\frac{\partial Z}{\partial t} = -\frac{1}{(1-\lambda)B} \frac{\partial(B_B \cdot B)}{\partial x} + \frac{a}{1-\lambda} \frac{\partial \lambda}{\partial t} \quad \text{--- (1)}$$

$$\frac{\partial p_i}{\partial t} = -\frac{1}{aB(1-\lambda)} \left\{ \frac{\partial(B_{B,i} \cdot B)}{\partial x} - p_i \frac{\partial(B_B \cdot B)}{\partial x} \right\} \quad \text{--- (2)}$$

図-4 河床モデル

### 2) 河床低下の場合

交換層の下の河床における空隙率 $\lambda$ はある粒径範囲の砂の占める割合をそれとすれば下式 $P_{B,i}$ とする。河床上昇の場合と同様にして

$$\frac{\partial Z}{\partial t} = -\frac{1}{(1-\lambda)B} \frac{\partial(B_B \cdot B)}{\partial x} + \frac{a}{1-\lambda} \frac{\partial \lambda}{\partial t} - \frac{\lambda_0 - \lambda}{1-\lambda} \frac{\partial a}{\partial t} \quad \text{--- (3)}$$

$$\frac{\partial p_i}{\partial t} = -\frac{1}{aB(1-\lambda)} \left\{ \frac{\partial(B_{B,i} \cdot B)}{\partial x} - P_{B,i} \frac{\partial(B_B \cdot B)}{\partial x} \right\} + (P_{B,i} - P_{B,0}) \left( \frac{1}{1-\lambda} \frac{\partial \lambda}{\partial t} - \frac{1}{a} \frac{\partial a}{\partial t} \right) \quad \text{--- (4)}$$

河床低下の場合の河床の連続式(3)において $\lambda = \lambda_0$ または $\partial \lambda / \partial t = 0$ とおけば河床上昇の場合の式(1)に一致し、さらには $\partial a / \partial t = 0$ とすれば通常の河床の連続の式に一致する。

### 3. 混合砂礫河床の掃流砂量と限界掃流力

混合砂の掃流砂量式としては Einstein 公式が有名であるが、この式以下の掃流力の補正是細かい粒径に対する過大な値を少しが指摘されている。 $\theta = 2^\circ$ 、ここでは次式の方を仮定して考察することとする。

$$\frac{q_{sc}}{u_* d_i} = P_i K \frac{u_*^m}{d_i} f\left(\frac{u_* c_i}{u_*}\right) \quad \dots \dots \quad (5)$$

$\theta = 12^\circ$ ,  $d_i$ : ある粒径範囲の砂の平均粒径,  $q_{sc}$ : 粒径  $d_i$  の砂の単位幅流砂量,  $u_*$ : 摩擦速度,  $u_*^m = u_*^2 / s g d_i$ ,  $u_* c_i = u_*^2 c_i / s g d_i$ ,  $s$ : 砂の水中比重,  $u_* c_i$ : 粒径  $d_i$  の砂の限界摩擦速度,  $K$  および  $m$ : 定数である。式(5)の係数を検討するためには実測値より  $q_{sc}/u_* d_i$  と  $u_*^m$  を求めなければならない。図-5 のようにならう。図によると測定は粒径の大きな折れ線はほぼ一本の直線上にまとまっているようであるが、 $u_*^m$  の大きな折れ線は式(5)の  $f(u_* c_i/u_*)$  が 1 に收れんすから、 $m=1$ ,  $K=4$  として計算される。土研公式よりも  $m=1$ ,  $K=3.3$  (粗度俢数  $n=0.055$  にて計算) となるのが実験値とほぼ等しくなる。また、 $u_*^m$  が小さくなりると測定が粒径ごとに分離しており、限界掃流力の無次元表示  $u_* c_i$  の粒径に対する割合を示すと図-6 のようである。これらのことをより、粒径別流砂量は既存の公式により計算できることを示す。

次に図-5 で粒径別  $u_* c_i$  を求め、平均粒径  $d_m$  と粒径  $d_i$  の比  $d_i/d_m$  に対して plot すると図-6 のようになる。図-6 は Egiazaroff の式<sup>3)</sup>

$$u_* c_i = 0.1 / \left( \log_{10} \frac{d_i}{d_m} \right)^2 \quad \dots \dots \quad (6)$$

における、河床の代表粒径  $d_m$  と  $d_m$  を用いた計算曲線も記入されている。測定値はほぼ式(6)の傾向と一致しているが、値はやや小さく、式(6)右辺の定数 0.1 を 0.055 にしてものとよく一致する。しかし、式(6)は流速分布と 1/2 対数分布則を利用した導出であるとの  $d_i/d_m$  の小さな範囲に対する問題があり、過小な  $u_* c_i$  を与えると考えられる。

### 4. 計算値と実測値の比較

一様水路における実験 No I, II は前報<sup>2)</sup> 用いた同じ簡略化を行なって計算することにする。すなはち、式(3), (4)を  $x=0$  から  $x=l$  まで積分し、流れ方向に 1/2 は平均値を考

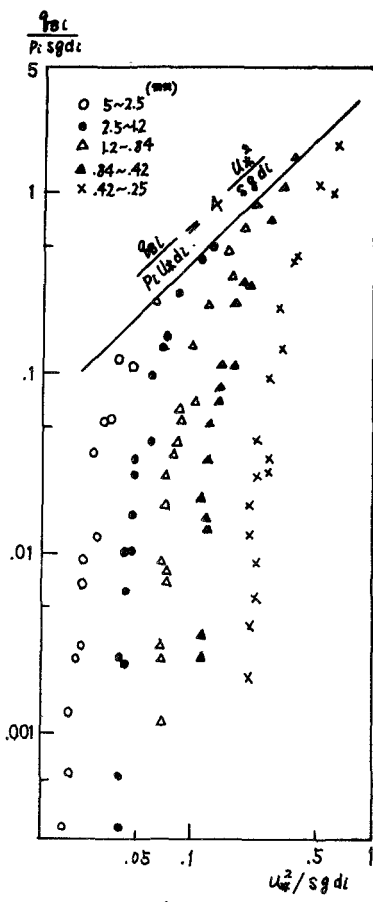


図-5 流砂量図

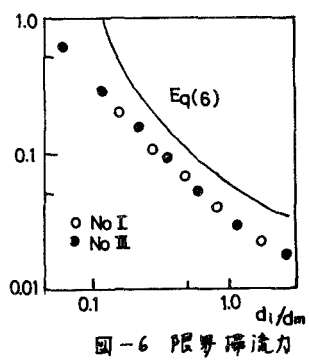


図-6 限界掃流力

す。  $a = \text{const}$  とする式(3), (4)は次のようになります。

$$\frac{dI}{dt} = -\frac{2}{(1-\lambda)\lambda} \left( \frac{g_B}{t} - a \frac{d\lambda}{dt} \right), \quad \frac{dp_i}{dt} = \frac{1}{(1-\lambda)\lambda} (p_{i0} g_B - p_{i\lambda}) + \frac{p_i - p_{i0}}{1-\lambda} \frac{d\lambda}{dt} \quad \dots \dots \dots \quad (7)$$

$I = I_0$ ,  $I$  は河床勾配である。上式と式(5)と式(6)の係数 0.1 を 0.055 に修正し次式を用ひ。  
 $a = 0.7 \text{ cm} \times 1.2$  計算と実測値と実測値の比較は図-7 のようであり、両者はかなり一致を示す。  
 図-7

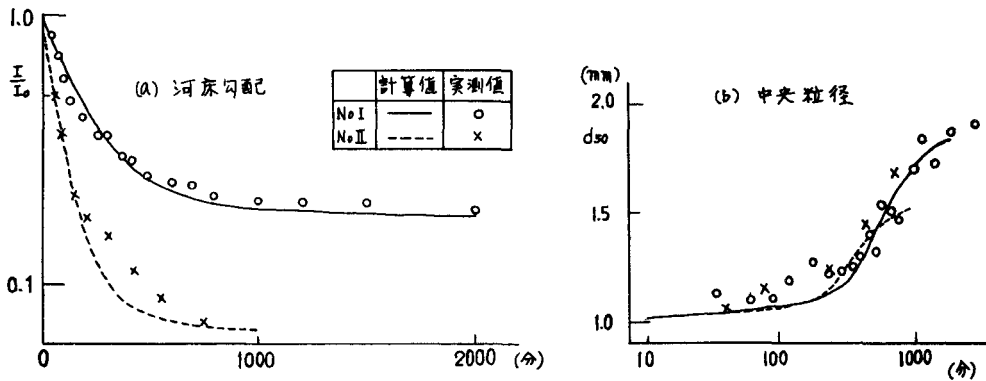


図-7 計算値と実測値の比較

す。幅の変化方程式 No. II は、式(1)～(4)と不等流計算を組合せた逐次計算が現在実施中である。  
 詳細については構造設計論述で述べる。

#### 参考文献

- 1) Einstein : Bed-load function for Sediment Transportation in Open Channel Flows, U.S. Department of Agriculture, Soil Conservation Service, Technical Bulletin, (1950)
- 2) 土屋：混合砂礫の限界掃流力について、土木学会論文集、98号 (昭38)
- 3) Egiagoroff : Calculation of Non-uniform Sediment Concentrations, Proc. of ASCE, HY4, (1965)
- 4) Hunt : On the Turbulent Transport of a Heterogeneous Sediment, Quarterly Journal of Mechanics and Applied Mathematics, Vol 22, (1969)
- 5) 岩垣、工屋、矢野：浮流現象における粒度粗成の影響に関する実験、京大防災研年報、8号 (昭40)
- 6) 芦田、道上：浮流砂量に関する実験的研究、京大防災研年報、10号 B, (昭42)
- 7) 吉川、福岡：Hydraulic Roles of Wash load, 土木学会論文集、No 155 (1968)
- 8) Hacan, Garde : Discussion of "River-Bed Degradation Below Dams", Proc. of ASCE, Vol 93, HY3, (1968)
- 9) 河村：ダム下流流域における河床変動の研究、(1969)
- 10) 平野、碇、小山：貯水池下流の河床低下について、第24回年次学術講演会概要、(1969)
- 11) 平野、小山、上浜：貯水池下流の河床低下について、土木学会西部支部研究発表会論文集、(1969)